

нормировке частоты соответствующих колебаний, дающих вклад в мягкую моду, и к сдвигу сегнетоэлектрического ФП.

Слабое влияние замещения ионов  $\text{Li}^{1+}$  на  $\text{Na}^{1+}$  (в соединении  $(\text{Li}_{0.75}\text{Na}_{0.25})_2\text{Ge}_7\text{O}_{15}$   $T_c$  смещается только на 6 К) указывает, что колебания решетки, в которых принимают участие ионы  $\text{Li}^{1+}$ , лишь косвенно связаны с мягкой модой, ответственной за сегнетоэлектрический ФП.

### Л и т е р а т у р а

- [1] Murthy M. K. J., Jr., J. Am. Ceram. Soc., 1964, vol. 47, N 2, p. 328—331.
- [2] Scott B. A., Ingebrigtsen K. A., Tseng C. C. Mat. Res. Bull., 1970, vol. 5, N 12, p. 1045—1050.
- [3] Haussuhl S., Wallrafen F., Recker K. Z. Kristallographie, 1980, vol. 153, p. 329—337.
- [4] Vollenkle H., Wittman A., Nowotny H. Monatsh. Chem., 1969, vol. 100, N 1, p. 79—90.
- [5] Волнянский М. Д., Кудлин А. Ю. ФТТ, 1987, т. 29, № 1, с. 213—215.
- [6] Волнянский М. Д., Кудлин А. Ю. ФТТ. 1988, т. 30, № 5, с. 1520—1523.

Днепропетровский  
государственный университет  
Днепропетровск

Поступило в Редакцию  
29 июня 1988 г.

УДК 537.635

Физика твердого тела, том 30, в. 12, 1988  
*Solid State Physics, vol. 30, N 12, 1988*

## СВЕРХТОНКОЕ ВЗАИМОДЕЙСТВИЕ $^{155}\text{Gd}$ В $\text{Pb}_5\text{Ge}_3\text{O}_{11}$ И ЭФФЕКТ ОТРИЦАТЕЛЬНОГО ДИСКРЕТНОГО НАСЫЩЕНИЯ

А. Д. Горлов, А. П. Потапов

В работе описываются результаты исследования сверхтонкого взаимодействия (СТВ) тригонального центра  $^{155}\text{Gd}^{3+}$  в кристаллах германата свинца (ГС) методами дискретного (ДН) и радиочастотного дискретного насыщения (РЧДН) [1, 2], а также впервые экспериментально обнаруженный эффект усиления участков неоднородно-уширенных сигналов ЭПР после импульсного СВЧ насыщения.

Эксперименты проводились на супергетеродинном спектрометре 3-см диапазона при температурах  $T=1.8\pm 4.2$  К. Выращенные методом Чохральского кристаллы ГС содержали примесь  $^{155}\text{Gd}_2\text{O}_3$  0.001—0.01 мольных % по весу в шихте.

Гамильтониан, описывающий ЭПР этого примесного центра, приведен в [2]. Там же даны параметры тонкой структуры, описаны некоторые особенности сверхтонкой структуры (СТС) и импульсных эффектов, наблюдавшиеся и в данной работе. Исследования СТС методами ДН и РЧДН в различных ориентациях внешнего магнитного поля  $H$  позволили определить константы СТВ для  $^{155}\text{Gd}$  в ГС:  $g_n=-0.172\pm 0.006$ ,  $A=11.416\pm 0.014$  МГц,  $B=11.099\pm 0.014$  МГц,  $Q=-(208\pm 7)$  МГц.

При изучении угловой зависимости ДН было обнаружено, что при  $\theta\neq 0$ ,  $90^\circ$  ( $\theta$  — угол между  $H$  и осью  $C_3$  кристалла), когда СТС формируется одновременно разрешенными (РП) и запрещенными ЭПР переходами (ЗП), кроме провалов ДН, на отдельных компонентах СТС возникают области с увеличенным поглощением (рис. 1). По аналогии с ДН мы назвали этот эффект «отрицательным» дискретным насыщением (ОДН). Положение сигнала ОДН определяется СТВ (рис. 1, 2). Зависимость от времени  $t$  эффекта ОДН отличается от временной зависимости спектра ДН и имеет максимум при  $t\simeq T_1$  — времени электронной спин-решеточной релаксации (CPP).

Эффект ОДН можно объяснить, рассмотрев изменение населенностий после импульсного насыщения в модельной системе уровней энергии (рис. 2), которая оправдана в нашем случае из-за большой величины  $Q$  [2]. После окончания СВЧ импульса на частоте  $\omega_0$ , приводящего к образованию провалов ДН на частотах  $\omega_1$  и  $\omega_2$ , населенности уровней энергии возвращаются к равновесным значениям за счет процессов электронной СРР с временами  $T_1$  и  $T_x$ , связанными с РП и ЗП. Разность населенностей  $\Delta n(t)$  уровней энергии, связанных РП с частотой  $\omega'_0$ , не задетых непосредственно импульсом насыщения, при  $t \sim T_1$  зависит от скоростей трех релаксационных переходов (рис. 2). В ситуации, когда РП и ЗП равновероятны,  $\Delta n(t)$  может стать больше равновесной  $\Delta n(0)$ , т. е. будет наблюдаться усиление поглощения. Естественно, что это рассмотрение относится лишь к выделенным спиновым пакетам.

Решение системы кинетических уравнений для населенностей, описывающее поведение  $\Delta n(t)$  после импульса насыщения, полностью под-

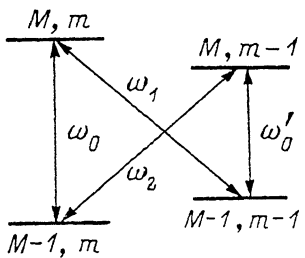
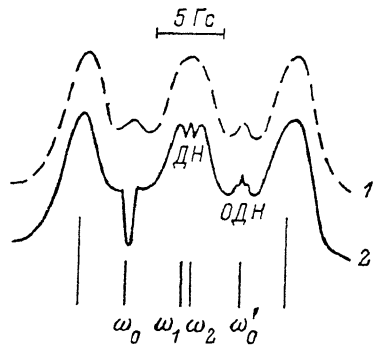


Рис. 2. Система электронно-ядерных уровней, поясняющая образование сигнала ОДН.  
 $M, m$  — проекции электронного и ядерного спинов;  $\omega_0$ ,  $\omega'_0$  — частоты РП;  $\omega_1$ ,  $\omega_2$  — частоты ЗП.

тврждает качественное рассмотрение. Для случая, когда насыщение выравнивает населенности уровней  $M, m$  и  $M-1, m$  (рис. 2), а вероятности РП и ЗП равны, т. е.  $T_1=T_x$ ,  $\Delta n(t)$  для уровней  $M, m-1$  и  $M-1, m-1$  описывается выражением

$$\Delta n(t) = \Delta n(0) + 0.25\Delta n(0) \{ \exp[-2t/T_1(\exp(-\delta) + 1)] + \exp[-2t/T_1(\exp \delta + 1)] - 2 \exp(-2t/T_1) \},$$

где  $\delta = \omega_0/K'T$ ,  $K'$  — постоянная Больцмана. Для  $T=2$  К и  $\omega_0=9140$  МГц  $\Delta n(t)$  имеет максимум при  $t \approx 0.7 T_1$ . Увеличение интенсивности перехода на частоте  $\omega'_0$  при этом около 12 %. Уменьшение вероятности ЗП приводит к уменьшению сигнала ОДН, а создание разности населенностей, соответствующей отрицательной спиновой температуре, — к увеличению.

На электронном переходе  $1/2 \leftrightarrow -1/2$  случай равенства вероятностей РП и ЗП реализуется при  $\theta=5^\circ$ . В соответствии с расчетом на эксперименте эффект ОДН на переходе  $1/2 \leftrightarrow -1/2$  наиболее четко наблюдается именно в этой ориентации (рис. 1). Так как вероятности РП и ЗП для нечетных изотопов  $Gd^{3+}$  имеют один порядок величины в широком диапазоне углов  $\theta$  и на разных электронных переходах, область наблюдения ОДН соответственно достаточно велика.

Резонансное радиочастотное поле, изменяющее глубину провалов ДН, приводит к уменьшению сигнала ОДН. Поскольку на этих же резонансных частотах возможно образование индуцированных провалов [2], часто наблюдается суммарный эффект, проявляющийся в виде провала на месте,

где до действия радиочастотного поля была область с увеличенным поглощением.

В заключение следует отметить, что эффект, аналогичный ОДН, теоретически предсказывался в [3, 4] для случая лигандного электронно-ядерного взаимодействия.

Таким образом, хотя механизм образования сигнала ОДН в отличие от ДН [1] чисто релаксационный, его положение на СТС сигналов ЭПР определяется электронно-ядерным взаимодействием и может быть использовано для определения параметров СТВ. Кроме того, само наблюдение эффекта ОДН сразу указывает на наиболее существенные каналы электронной CPP в связанной системе электронных и ядерных спинов.

#### Л и т е р а т у р а

- [1] Санадзе Т. И., Хуцишвили Г. Р. В сб.: Проблемы магнитного резонанса. М.: Наука, 1978, с. 206—225.
- [2] Горлов А. Д., Потапов А. П., Шерстков Ю. А. ФТТ, 1985, т. 27, № 3, с. 625—630.
- [3] Ефремов Н. А., Кожушнер М. А. ЖЭТФ, 1969, т. 57, № 2, с. 534—546.
- [4] Звиададзе М. Д., Фокина Н. П. ФТТ, 1977, т. 19, № 7, с. 1937—1946.

Уральский государственный  
университет им. А. М. Горького  
Свердловск

Поступило в Редакцию  
29 июня 1988 г.